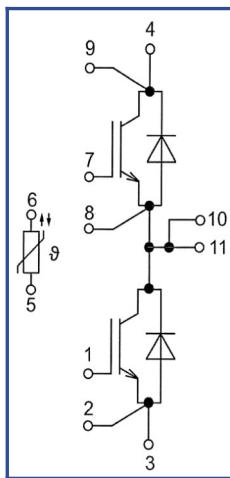
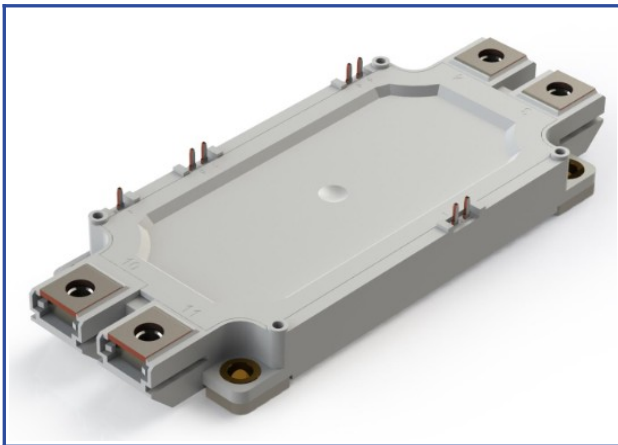


Низкоиндуктивный IGBT модуль высотой корпуса 17 мм

1200 В 300 А



Особенности чипов

- IGBT чип
 - низкое значение $U_{CE(sat)}$
 - длительность КЗ 10 мкс при 150°C
 - квадратная область RBSOA при 2xI_c
- FRD чип
 - быстрое и мягкое восстановление
 - низкое падение напряжения

Особенности конструкции

- медное основание
- Al₂O₃ DBC подложки
- разварка силовых шин медной проволокой
- улучшенная стойкость к термоциклам
- соответствие RoHS
- низкое значение индуктивности

Типовые применения

- приводы двигателей переменного тока
- инверторы напряжений для солнечных панелей
- системы кондиционирования воздуха
- преобразователи высокой мощности и ИБП
- инверторы ветрогенераторов

Предельно допустимые значения параметров

Параметр	Обозн.	Условия	Знач.	Ед.
IGBT				
Напряжение коллектор-эмиттер	U_{CES}	$U_{GE} = 0$.	1200	В
Максимально допустимый постоянный ток коллектора	$I_{C 25}$	$T_{vj (max)} = 175^{\circ}C; T_c = 25^{\circ}C$.	426	А
	$I_{C 80}$	$T_{vj (max)} = 175^{\circ}C; T_c = 80^{\circ}C$.	300	А
Максимальный повторяющийся импульсный ток коллектора*1	I_{CRM}	$I_{CRM} = 3 \times I_{C nom}; t_p = 1 \text{ мс}$.	900	А
Длительность импульсного тока короткого замыкания	t_{psc}	$T_{vj} = 25^{\circ}C; U_{GE} = \pm 15 \text{ В}; U_{CE} = 720 \text{ В}; R_{G on} = R_{G off} = 1.5 \text{ Ом}$	10	мкс
		$T_{vj} = 150^{\circ}C; U_{GE} = \pm 15 \text{ В}; U_{CE} = 720 \text{ В}; R_{G on} = R_{G off} = 1.5 \text{ Ом}$	10	
Напряжение затвор-эмиттер	U_{GES}		± 20	В
Рабочая температура в области перехода кристалла	$T_{vj (op)}$		-40...+150	°C
Обратно-параллельный диод				
Повторяющееся импульсное обратное напряжение	U_{RRM}	$U_{GE} = 0 \text{ В}$.	1200	В
Максимально допустимый постоянный прямой ток	$I_{F 25}$	$T_{vj (max)} = 175^{\circ}C; T_c = 25^{\circ}C$.	304	А
	$I_{F 80}$	$T_{vj (max)} = 175^{\circ}C; T_c = 80^{\circ}C$.	229	А
Повторяющийся прямой импульсный ток*1	I_{FRM}	$I_{FRM} = 3 \times I_{F nom}; t_p = 1 \text{ мс}$.	900	А
Рабочая температура перехода	$T_{vj (op)}$		-40...+150	°C
Модуль				
Температура хранения	T_{stg}		-55...+50	°C
Напряжение пробоя изоляции	U_{isol}	AC sin 50 Гц; t = 1 мин.	4000	В

*1 Длительность импульса и частота повторения должна быть такой, чтобы температура перехода не превышала $T_{vj max}$.

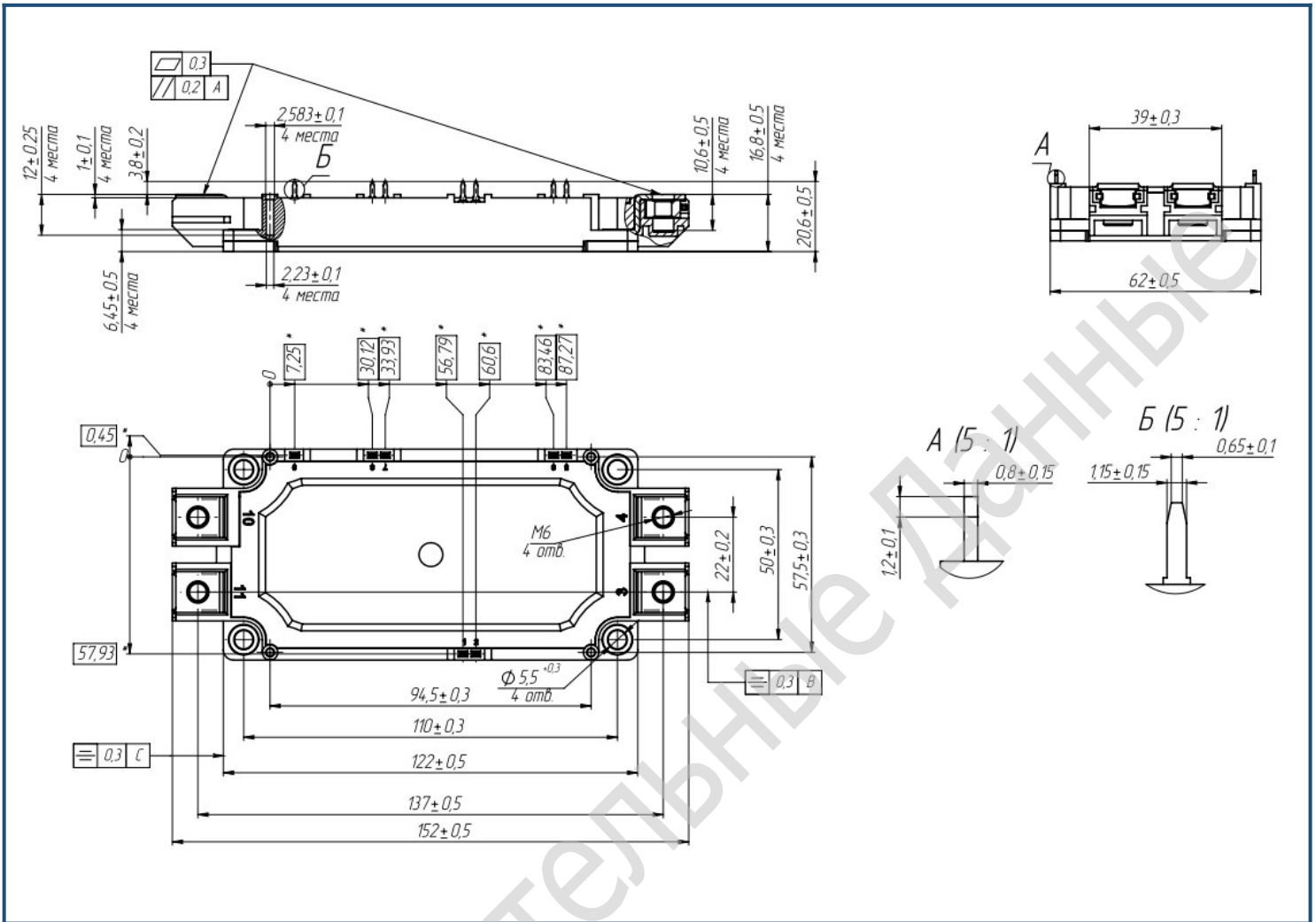
Характеристики

Параметр	Обозн.	Условия	Знач.			Ед.		
			мин.	тип.	макс.			
IGBT								
Напряжение насыщения коллектор-эмиттер	U_{CEsat}	$U_{GE} = +15\text{ В}; I_C = 300\text{ А}; t_u = 1000\text{ мкс.}$	$T_{vj} = 25^\circ\text{C}$	-	2.00	-	В	
			$T_{vj} = 150^\circ\text{C}$	-	2.60	-	В	
Пороговое напряжение затвор-эмиттер	$U_{GE(th)}$	$I_C = 3\text{ мА}; U_{CE} = U_{GE}; T_{vj} = 25^\circ\text{C}; t_u = 2\text{ мс.}$		5.20	5.70	7.20	В	
Ток утечки коллектор-эмиттер	I_{CES}	$U_{CE} = 1200\text{ В}; t_u = 50\text{ мс}; U_{GE} = 0.$	$T_{vj} = 25^\circ\text{C}$	-	11.00	300	мкА	
			$T_{vj} = 150^\circ\text{C}$	-	0.30	5.00	мА	
Ток утечки затвор-эмиттер	I_{GES}	$U_{CE} = 0; U_{GE} = \pm 20\text{ В}; T_{vj} = 25^\circ\text{C}; t_u = 30\text{ мс.}$		-	15.00	250	нА	
Входная ёмкость	C_{ies}	$U_{CE} = 25\text{ В}; U_{GE} = 0\text{ В}; f = 1\text{ МГц}; T_{vj} = 25^\circ\text{C.}$		-	417.50	-	нФ	
Обратная передаточная ёмкость	C_{res}		-	0.45	-	нФ		
Заряд затвора	Q_G	$I_C = 300\text{ А}; U_{CE} = 600\text{ В}; U_{GE} = -8...+15\text{ В.}$		-	3000	-	нКл	
Встроенный резистор затвора	R_{Gint}	$T_{vj} = 25^\circ\text{C.}$		-	-	-	Ом	
Время задержки включения	$t_{d(on)}$	$U_{CE} = 600\text{ В}; U_{GE} = \pm 15\text{ В}; I_{Cmax} = 300\text{ А}; R_G = 1.5\text{ Ом}; L_s = 56\text{ нГн.}$	$T_{vj} = 25^\circ\text{C}$	-	-	-	нс	
			$T_{vj} = 150^\circ\text{C}$	-	-	-		
Время нарастания тока коллектора	t_{ri}		$T_{vj} = 25^\circ\text{C}$	-	-	-	нс	
			$T_{vj} = 150^\circ\text{C}$	-	-	-		
Энергия потерь при включении	E_{on}		$T_{vj} = 25^\circ\text{C}$	-	27	-	мДж	
			$T_{vj} = 150^\circ\text{C}$	-	40	-		
Время задержки выключения	$t_{d(off)}$		$T_{vj} = 25^\circ\text{C}$	-	-	-	нс	
			$T_{vj} = 150^\circ\text{C}$	-	-	-		
Время спада тока коллектора	t_{fi}		$T_{vj} = 25^\circ\text{C}$	-	-	-	нс	
			$T_{vj} = 150^\circ\text{C}$	-	-	-		
Энергия потерь при выключении	E_{off}	$T_{vj} = 25^\circ\text{C}$	-	50	-	мДж		
		$T_{vj} = 150^\circ\text{C}$	-	70	-			
Пороговое напряжение коллектор-эмиттер	U_{CE0}	$U_{GE} = +15\text{ В}; T_{vj} = 150^\circ\text{C}; I_{CE1} = 75\text{ А}; I_{CE2} = 300\text{ А}; t_u = 1000\text{ мкс.}$		-	-	0.69	В	
Динамическое сопротивление	r_{CE0}			-	-	6.64	МОм	
Тепловое сопротивление переход-корпус	$R_{th(j-c)}$	$DC; I_{test} = 1.5\text{ А}; U_{GE} = +15\text{ В.}$		-	-	0.100	К/Вт	
Обратно-параллельный диод								
Постоянное прямое напряжение	U_F	$I_F = 300\text{ А}; U_{GE} = 0; t_u = 1000\text{ мкс.}$	$T_{vj} = 25^\circ\text{C}$	-	1.90	-	В	
			$T_{vj} = 150^\circ\text{C}$	-	2.50	-	В	
Время обратного восстановления	t_{rr}	$U_{GE} = \pm 15\text{ В}; U_{CE} = 600\text{ В}; I_{Cmax} = 300\text{ А}; R_{Gon} = 1.5\text{ Ом}; L_s = 56\text{ нГн.}$	$T_{vj} = 25^\circ\text{C}$	-	-	-	нс	
			$T_{vj} = 150^\circ\text{C}$	-	-	-		
Импульсный обратный ток	I_{RM}		$T_{vj} = 25^\circ\text{C}$	-	300	-	А	
			$T_{vj} = 150^\circ\text{C}$	-	300	-	А	
Заряд восстановления	Q_r		$T_{vj} = 25^\circ\text{C}$	-	31	-	мкКл	
			$T_{vj} = 150^\circ\text{C}$	-	65	-	мкКл	
Энергия потерь при обратном восстановлении	E_{rec}		$T_{vj} = 25^\circ\text{C}$	-	16	-	мДж	
			$T_{vj} = 150^\circ\text{C}$	-	27	-	мДж	
Пороговое напряжение	$U_{(T0)}$		$T_{vj} = 150^\circ\text{C}; U_{GE} = 0;$		-	-	0.89	В
Динамическое сопротивление	r_T		$I_{F1} = 75\text{ А}; I_{F2} = 300\text{ А}; t_u = 1000\text{ мкс}$		-	-	5.63	МОм
Тепловое сопротивление переход-корпус	$R_{th(jc-D)}$	$DC; I_{test} = 1.5\text{ А}; U_{GE} = +15\text{ В.}$		-	-	0.190	К/Вт	

Модуль							
Сопротивление выводов	R_{Pxy}	$T_{vj} = 25^{\circ}\text{C}$.	$R_{P10/11-3}$	-	0.95	1.00	мОм
			$R_{P10/11-4}$	-	0.68	1.00	
Паразитная индуктивность модуля между силовыми выводами	L_{Pce}			-	22	-	нГн
Сопротивление термистора	R_{t25}	$T_{vj} = 25^{\circ}\text{C}$ $T_{vj} = 100^{\circ}\text{C}$		4850	-	6225	Ом
				475	-	554	
Коэффициент температурной чувствительности	$B_{25/50}$	$R_2 = R_{25} \exp [B_{25/50} (1/T_2 - 1/T_1)]$, $T_1 = 298.15 \text{ K}$		-	3375	-	к
Тепловое сопротивление корпус-основание	R_{thCH}	для модуля		-	0.009	0.014	К/Вт
Момент затягивания винтов корпуса	M_s	к охладителю М5		3	-	6	Н*м
Момент затягивания на силовых выводах	M_t	к клеммам М6		3	-	6	Н*м
Масса	W			-	-	360	г

Примечания:

- Рабочая температура корпуса и изоляционных материалов не должна превышать $T_c = 125^{\circ}\text{C}$ макс;
- Рекомендуемая рабочая температура кристалла $T_{vj \text{ op}} = -40...+150^{\circ}\text{C}$.

Габаритные размеры: тип корпуса – DA

Руководство по маркировке

MIDA	-	HB	12	SM	-	300	N	
MIDA								Тип корпуса IGBT модуля: DA
		HB						Полумост
			12					Номинальное напряжение ($U_{CES}/100$)
				SM				IGBT+FRD модификация чипсета
						300		Средний ток
							N	Климатическое исполнение: умеренный климат

Информация, содержащаяся в данном документе, защищена авторским правом. В интересах улучшения качества продукта АО «Протон-Электротекс» оставляет за собой право вносить изменения в информационные листы без предварительного уведомления.